

رفتار ویسکوالاستیک ژلهای سریش - بوراکس

Viscoelastic Behaviour of Asphodel-Borax Gels

محمد مهدی خراسانی^۱، علی اکبر یوسفی^{۱*}، امیر ارشاد لنگرودی^۲

تهران، پژوهشگاه پلیمر و پتروشیمی ایران، پژوهشکده فرایند، ۱- گروه پلاستیک، ۲- گروه رنگ و روکش‌های

سطح، صندوق پستی ۱۴۹۶۵/۱۱۵

دریافت: ۸۳/۱۰/۶، پذیرش: ۸۴/۷/۲

چکیده

اینولین جزء پلی‌ساقاریدی و بخش اصلی تشکیل‌دهنده سریش است که قابلیت انحلال در آب سرد (در دمای کم) را داشته، به وسیله نمکهای بورات (یونهای بورات) قابل تبدیل به ژل است. ژل اینولین پیوندهای عرضی دائمی ندارد و این پیوندها در اثر برش قابلیت جابه‌جایی، حرکت و کاهش را دارند. واکنش تشکیل ژل واکنشی تعاملی است که دما اثر زیادی روی آن ندارد بلکه مقدار اینولین و عامل ژل کننده اثر قابل توجهی بر واکنش و در نتیجه بر خواص رئولوژی ژل دارد. مطالعه خواص رئولوژی ژلهای آب پایه حاصل نشان می‌دهد که افزایش مقدار اینولین اثر افزایشی بر استحکام ژل (مدول ذخیره) دارد. اما، مقدار بوراکس (عامل ژل کننده) در حالت‌های مختلف کلویید (ناشی از مقدار سریش) آثار متفاوتی بر استحکام ژل دارد. همچنین، رفتار رقیق شونده برتری برای گرانزوی مختلط این ژلهای مشاهده می‌شود. ژل سریش (اینولین) در رده خاصی از ژلهای آب پایه قرار می‌گیرد که در محدوده دمایی قابل کاربرد حالت ژل تغییر نکرده، در حالت پایدار قرار دارد. صحبت مدل دی جن در مورد این ژل بررسی شد که در مقادیر بیشتر سریش تطبیق بهتری مشاهده می‌شود.

واژه‌های کلیدی

سریش، اینولین،
بوراکس، خواص رئولوژیکی،
استحکام ژل

مقدمه

بنابراین، مطالعه رئولوژی این دسته از مواد اهمیت زیادی دارد. از طرفی روشهای رئومتری روشهایی بسیار کارامد در شناسایی هر دو حالت جامد و مایع و حتی حالت واسط آنها یعنی سیالات ویسکوالاستیک هستند. ژلهای معمولاً بر

ژلهای دسته مهمی از موادند که کاربردهای زیادی در صنایع کشاورزی و مواد آرایشی و بهداشتی دارند. از نظر منبع اولیه دو دسته ژل طبیعی و مصنوعی وجود دارد. ژلهای جامداتی هستند که با افزایش تنفس قابلیت جاری شدن نیز دارند.

Key Words

asphodel, inulin,
borax, rheological properties,
gel strength

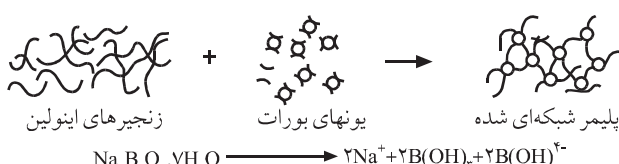
* مسئول مکاتبات، پیام نگار: a.yousefi@ippi.ac.ir

خشک کردن در گرمای ملایم به ماده‌ای جامد و ترد که بی‌نهایت جاذب رطوبت و چسبنده است، تبدیل می‌شود. در عصاره این گیاه مقدار کمی قند احیا شده (laevulose)، سلولوز، مواد عصاره‌ای، مواد آلبومینوییدی، خاکستر و مواد معدنی وجود دارد [۴]، اما جزء اصلی آن را اینولین تشکیل می‌دهد [۵، ۶]. محتوی پودر سریش را حدود ۶۰ درصد اینولین، ۲۰ درصد قلدولولوز و ۲۰ درصد دیگر را آب، خاکستر و مواد معدنی تشکیل می‌دهد [۶].

اینولین که در بعضی گیاهان جایگزین نشاسته می‌شود پلی ساکاریدی است که از واحدهای تکرار شونده فروکتوز بدلست آمده است. بنظر می‌رسد که گروههای انتهایی زنجیر اینولین را واحدهای گلوکوز تشکیل می‌دهند. اینولین برخلاف نشاسته موجود در غلات و سبزه‌ی زمینی در آب انحلال پذیر است و کاربردهایی پژوهشی دارد. اینولین، پلی فروکتورانوز با حدود ۳۰ واحد تکرار شونده فروکتوزی است که به وسیله پیوندهای β -۱-۲-گلوکوزید به هم متصل شده‌اند [۶].

بسیار مشاهده شده که محلولهای ترکیبات پلی هیدروکسیل مثل پلی وینیل الکل و گالاکتومانانها وقتی با مواد بوراتی مخلوط می‌شوند تشکیل ژل می‌دهند. ژل از تشکیل ترکیبی دی‌دیولی بین یون بورات و دو تکه از گروههای هیدروکسیل مجزا در دو زنجیر متفاوت بدلست می‌آید [۱]. در این پژوهش، مشاهده شد که محلول آبی سریش رامی توان با افزودن بوراکس (سدیم بورات) تبدیل به ژل کرد. در این فرایند تنها جزئی از سریش که در تولید ژل شرکت می‌کند، بخش پلی ساکاریدی آن یا همان اینولین است که با داشتن گروههای هیدروکسیل قابلیت مشارکت در پیوندهای عرضی را دارد. نمای این واکنش در طرح انشان داده شده است.

پیوندهای عرضی تشکیل شده بین یون بورات و گروههای هیدروکسیل پیوندی دائمی نبوده، قابل جایه جایی‌اند. در واقع این نوع پیوند حاصل تعادلی شیمیایی است که برای ژل بسیاری از پلی ساکاریدها گزارش شده است و انتظار می‌رود که این تعادل در مورد اینولین هم وجود داشته باشد. در ادامه خواص رثولوژی ژلهای تولید شده به این روش بررسی و نقش عواملی چون مقدار سریش و عامل ژل کننده (بوراکس) بر پیوندهای عرضی تعادلی بررسی شده است. همچنین، رفتار ژل در محدوده دمایی وسیعی بررسی و با ژلی مشابه مقایسه شده است.



طرح ۱ فرایند تشکیل ژل به وسیله یونهای بورات.

اساس ساختار در دو گروه زیر دسته‌بندی می‌شوند:

- ژلهای شیمیایی که در آنها زنجیرهای پلیمری به کمک پیوندهای کووالانسی به هم متصل شده‌اند یا در آنها پیوندهای عرضی شیمیایی ایجاد شده است.

- ژلهای فیزیکی که در آنها نقاط گره خورده‌گی یا پیوندهای عرضی به وسیله پیوندهای فیزیکی مانند پیوند هیدروژنی، برهمکنشهای آبگریز و برهمکنشهای کولنی بین زنجیرهای پلیمری ایجاد شده است.

براساس تفاوت در وابستگی دمایی، ژلهای فیزیکی به چهار نوع دسته‌بندی می‌شوند:

(۱) ژلهای سرما سخت (coldset) مثل آگار، آگاروس، کاراژینانها و صمغهای ژلان که با سرد کردن محلول تبدیل به ژل می‌شوند، (۲) ژلهای گرما سخت (heatset) مثل متیل سلولوز، کوردلان، کونثراک و گلوكومانان که با گرم کردن محلول تبدیل به ژل می‌شوند، (۳) ژلهایی مثل ژیلوگلوکان که فقط در محدوده متوسط دمایی تشکیل ژل می‌دهند و (۴) ژلهای معکوس گروه ۳ مثل مخلوطی از متیل سلولوز و ژلاتین که در محدوده دمایی متوسط به حالت مایع هستند، اما در محدوده‌های دمایی بیشتر و کمتر از آن به حالت ژل در می‌آیند [۱].

فرایند ژل شدن برای ژلهای شیمیایی و فیزیکی با سازوکارهای مختلفی انجام می‌گیرد. مثلاً در مورد ژل آگار که ژلی فیزیکی سرما‌سخت است در دمایی زیاد مولکولهای آگار در حالت صورت‌بندی اتفاقی‌اند. اما، طی فرایند سرد کردن مولکولهای آگار با هم تجمع یافته، ساختارهای مارپیچی، پیچیده‌تر و منظم‌تری را تشکیل می‌دهند [۲]. در حالی که ژلهای شیمیایی با تشکیل پیوندهای عرضی بوجود می‌آیند. به عنوان مثال پلیمر شدن رادیکال آزاد اینولین با گلیسیدیل متاکربلات منجر به تولید هیدروژلهای شبکه‌ای اینولین متاکربلات می‌شود [۳].

در این پژوهش، شبکه ژل جدیدی معرفی می‌شود که به وسیله چسبی آب پایه و عامل شبکه‌ای کننده بوراکس (سدیم بورات آبکافت شده) ایجاد می‌شود. این چسب آب پایه که در کشورمان کاربرد زیادی در صنایع رنگ و چسبهای آماده دارد، چسب سریش نامیده می‌شود. سریش پودری است که از ریشه و غده‌های گیاه Asphodel بدست می‌آید.

پودر سریش وقتی با آب سرد مخلوط شود، متورم شده، چسبی قوی را تشکیل می‌دهد. این چسب پس از تبخر حلال (آب) استحکام بسیار خوبی نشان می‌دهد. پودر بدست آمده ترکیبات زیادی از مواد آلی دارد. ریشه و غده‌های سریش از کربوهیدراتها غنی‌اند که در میان آنها قندها فراوان‌ترند. در مجموع مقدار قندهای که بدست می‌آید از ۱۴ تا ۲۲ درصد تغییر می‌کند. عصاره حاصل از غده‌ها دارای سلولوز است، ولی عصاره و باقی مانده قادر نشاسته است. توده شربتی غلیظ با افزودن الکل و

تجربی

مواد

سریش مورد استفاده پس از توزین با 80°C درصد وزنی کل آب مقطر مورد نیاز برای تهیه ژل مخلوط شد، سپس به وسیله همزن چهارپره معمولی با دور در محدوده $300-500 \text{ rpm}$ به مدت 5 min به شدت همزده شد تا با توجه به درصد سریش، محلول یا خمیر متورم بdest آید. مقدار مورد نظر از بوراکس نیز در باقیمانده آب مقطر مورد نیاز در دمای بیشتر از 70°C حل شد. سپس، محلول بوراکس به مخلوط سریش اضافه و به شدت مخلوط شد. به محض اضافه شدن عامل ژل ساز خمیر چسبناک یا محلول چسبنده سریش شروع به تشکیل شبکه ژل یکپارچه کرده، چسبندگی آن به دیواره ظرف از بین می رود. ژلهای تهیه شده برای مدت 24 h در ظرف درب بسته به حالت فشرده شده نگهداری شد تمام آب جذب توده ژل شود. در نهایت، نمونه ها آماده آزمایش هستند.

نتایج و بحث

جرم مولکولی متوسط وزنی اینولین به روش پراکندگی نور برابر 21000 g/mol بdest آمد. این جرم مولکولی متوسط، معادل درجه پلیمرشدن متوسط 115 برای مولکولهای اینولین موجود در سریش است. ضریب دوم ویریال (A_2) در آب معادل $10^{-3} \times 10^{-3} \times 8472 = 8472$ - بdest آمد که نشان دهنده انحلال پذیری کم این ماده در آب است.

در بررسی ظاهری ژلهای مشاهده شد که نمونه $5-0/1$ خواص سایر ژلهای رانداشتی، بسیار چسبناک است، به همین دلیل کنار گذاشته شد. در ابتدا برای تعیین محدوده ویسکوالاستیک خطی ژلهای آزمایش روبش کرنش در بسامد زاویه ای 1° روی نمونه $20-0/2$ انجام شد. در شکل ۱ نمودار مدول اتلاف و ذخیره و پارامتر اتلاف در برابر کرنش مشاهده

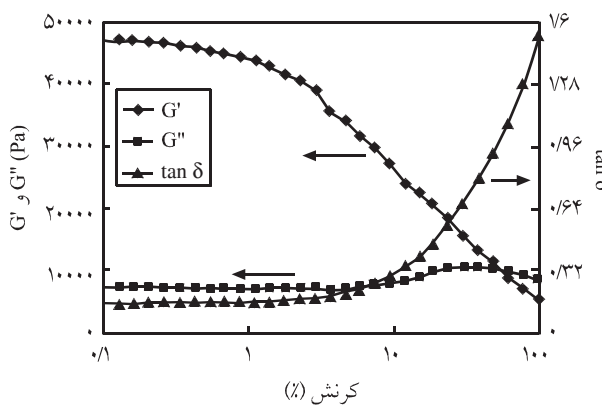
دستگاهها

در این پژوهش، برای رئومتری ژلهای تهیه شده از رئومتر با صفحات موازی به قطر 25 mm و در حالت پویای چرخشی استفاده شد. فاصله صفحات 2 mm انتخاب و برای آزمایش روبش سامد از محدوده $0/1-100^\circ\text{C}$ استفاده شد. قبل از این آزمایش از روش آزمون روبش محدوده کرنش ویسکوالاستیک خطی معین شد. برای بررسی اثر دما، رئومتری در محدوده دمایی $30-90^\circ\text{C}$ با سرعت $5^\circ\text{C}/\text{min}$ و در بسامد زاویه ای 1°s^{-1} انجام شد. مطالعات رئومتری به کمک دستگاه MCR 300 از شرکت Paar Physica در محدوده ویسکوالاستیک خطی نمونه ها انجام شد.

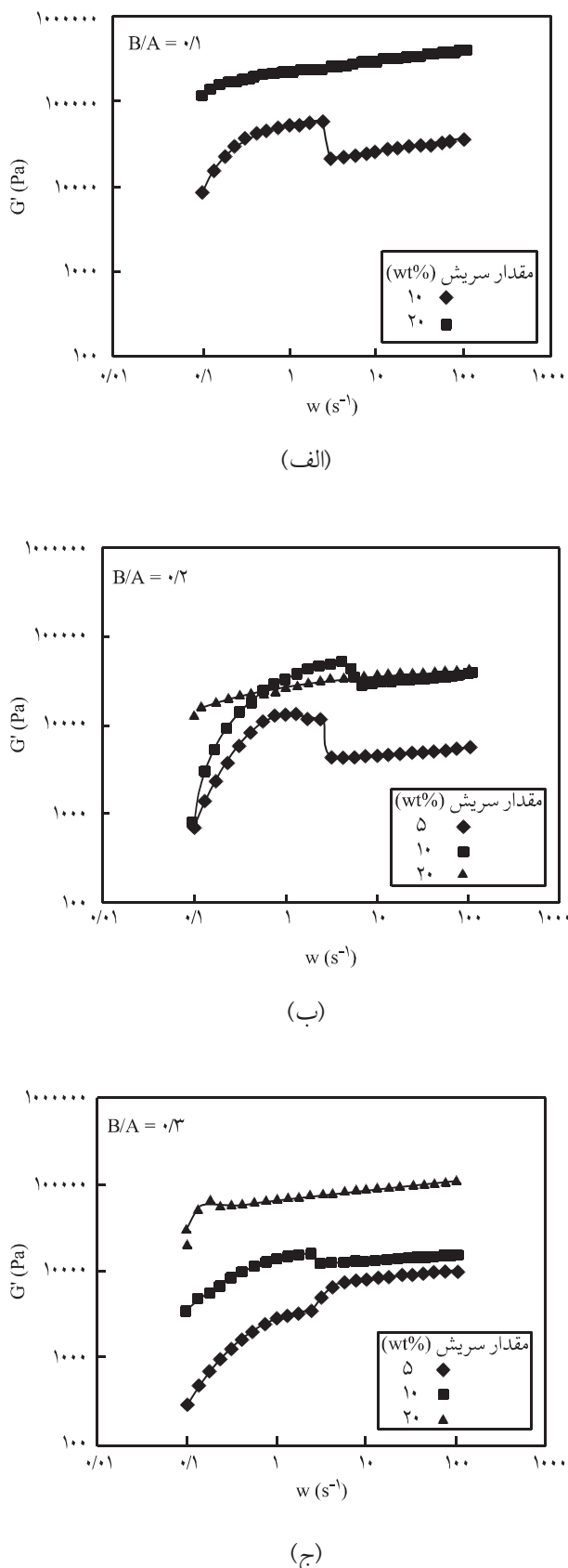
برای تعیین جرم مولکولی اینولین در ابتدا استخراج پلیمر به وسیله حل کردن سریش در آب و رسوب دادن پلی ساکارید با متانول (به مقدار سه برابر وزنی محلول) انجام گرفت. سپس جرم مولکولی متوسط وزنی (\bar{M}_w) اینولین با دستگاه پراکندگی نور لیزر ساخت شرکت SEMATech Laboratory اندازه گیری شد.

روشها

اندازه گیری جرم مولکولی اینولین با روش پراکندگی نور لیزر در زوایای $30^\circ, 45^\circ, 60^\circ, 75^\circ, 80^\circ, 90^\circ, 105^\circ, 120^\circ, 135^\circ$ درجه روح محلولهای بسیار رقیق اینولین در آب (غلظتها کمتر از $0/2 \text{ g/L}$) در طول موج 6433 nm انجام شد، ضریب پراکندگی نور (dn/dc) اینولین در آب طبق مراجع برابر $0/142^\circ\text{C}$ قرار داده شد. با استفاده از منحنی زیم (Zimm) اطلاعات مربوط به جرم مولکولی متوسط وزنی و ضریب دوم ویریال قابل محاسبه است. برای بررسی اثر مقدار عوامل مختلف ۹ ژل نمونه تهیه شد. درصد وزنی سریش در سه مقدار $5, 10$ و 20 درصد و نسبت وزنی سریش به بوراکس (B/A) در سه عدد $0/1, 0/2$ و $0/3$ ثابت شده، نمونه با این مقادیر تهیه شد. نامگذاری عمومی این ژلهای به شکل A-B است، مثلاً در نمونه $0/2-0/2$ عدد اول یعنی 10 درصد وزنی سریش و عدد دوم یعنی $0/2$ نسبت وزنی بوراکس به سریش را نشان می دهد. برای تهیه ژلهای ابتدا



شکل ۱ تعیین محدوده ویسکوالاستیک خطی ژل $20-0/2$ به عنوان نماینده ژلهای سریش.



شکل ۲ مدول ذخیره ژلهای سریش با تفکیک بر اساس نسبت A/B.

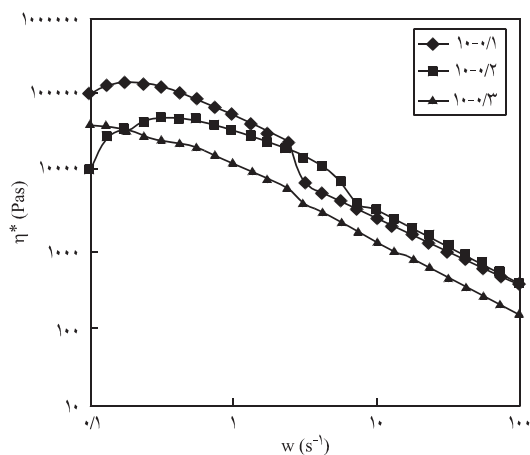
می شود. در کرنشهای کمتر از ۱ درصد منحنی G' و δ در برابر کرنش خطی است. بنابراین، رئومتری تمام نمونه‌ها در کرنش ۱ درصد انجام شد. محدود بودن ناحیه ویسکوالاستیک خطی نشان دهنده حالت فیزیکی ناپایدار کشسان این ژل است که به زودی دچار تغییر شکلهای برگشت ناپذیر می شود.

اثر مقدار پلیمر و عامل ژل کننده

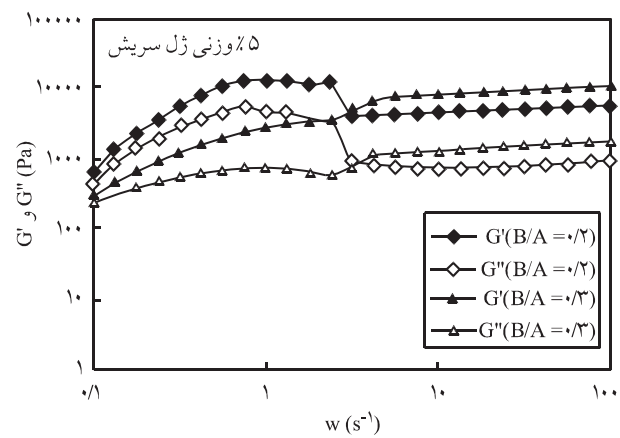
انتظار می رود که مقدار سریش و عامل ژل کننده آثار مهمی روی خواص رئولوژی ژل داشته باشند. افزایش مقدار سریش استحکام عمومی ژل را افزایش می دهد، اما این رفتار در نسبتها متفاوت بوراکس به سریش یکسان نیست. در شکل ۲ مدول ذخیره به عنوان نماد استحکام ژل در برابر بسامد تغییر شکل، برای سه نسبت بوراکس به سریش $0/1$ ، $0/2$ و $0/3$ نشان داده شده است. در نسبت $B/A = 0/1$ با افزایش مقدار سریش از 10 به 20 درصد افزایش قابل توجهی در مدول ناحیه مسطح لاستیکی دیده می شود. اما، این افزایش در نسبت $B/A = 0/2$ مشاهده نمی شود، بلکه با افزایش مقدار سریش از 5 به 10 درصد مدول ناحیه مسطح افزایش قابل توجهی نشان می دهد. مجدداً در نسبت $B/A = 0/3$ افزایش قابل توجهی در تغییر مقدار سریش از 10 به 20 درصد رخ می دهد.

در شکل ۲ ژلهای بر اساس نسبت بوراکس به سریش استفاده شده در آنها به سه گروه دسته بندی و اثر تغییر مقدار سریش بر مدول ذخیره ژل بررسی شده است. اما در شکل ۳، ژلهای بر اساس مقدار سریش به سه گروه دسته بندی شده و اثر تغییر نسبت بوراکس به سریش روی مدول ذخیره ژلهای بررسی شده است. در مورد ژل حاوی 5 درصد سریش مشاهده می شود که با افزایش نسبت B/A از $0/2$ به $0/3$ مدول ناحیه مسطح دو برابر افزایش یافته است. اما، در مورد ژلهای دارای 10 درصد سریش، روند کاملاً متفاوت است. تغییر نسبت A/B از $0/1$ به $0/2$ موجب افزایش جزئی مدول شده اما افزایش این نسبت به $0/3$ باعث کاهش شدید مدول می شود. این روند مجدداً در ژلهای دارای 20 درصد وزنی سریش تغییر کرده، ژل با نسبت بوراکس به سریش $0/1$ بیشترین و ژل با نسبت $0/2$ کمترین مدول مسطح را نشان می دهد. رفتار مشابهی را می توان در مورد گرانزوی مختلط همین ژلهای مشاهده کرد. گرانزوی این ژلهای بر اساس طرح اخیر در شکل ۴ دیده می شود. رفتار رقیق شونده برای گرانزوی مختلط این ژلهای مشاهده می شود.

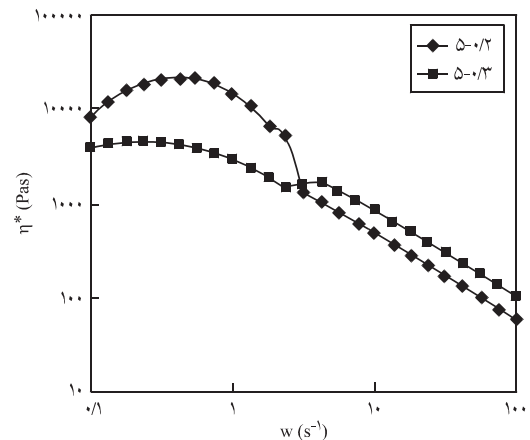
در شکل ۵ مدول متوسط ناحیه مسطح برای ۸ ژل مورد نظر بر اساس نسبت B/A رسم شده است. تمام تغییرات پیش گفته در این شکل قابل مشاهده است. رفتار ژل 10 درصد کاملاً بر عکس رفتار ژل 20 درصد بوده، هیچ کدام قابل مقایسه با رفتار ژل 5 درصد نیستند. همان طور که در شکلهای 2 و 3 دیده می شود سه ژل $0/2$ ، $0/1$ و $0/0/5$ و



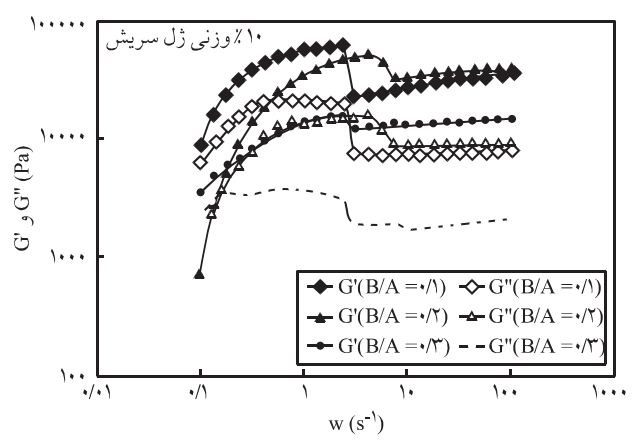
(الف)



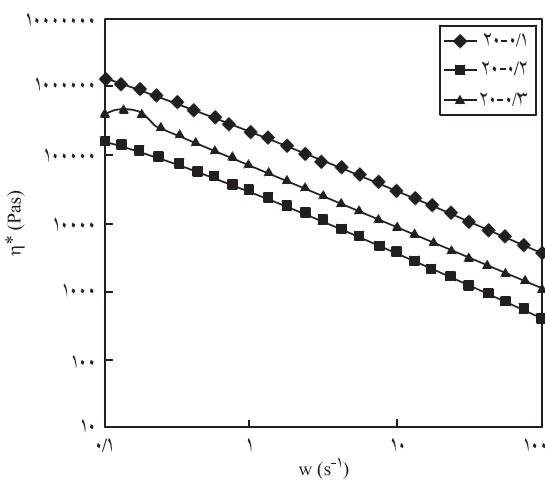
(الف)



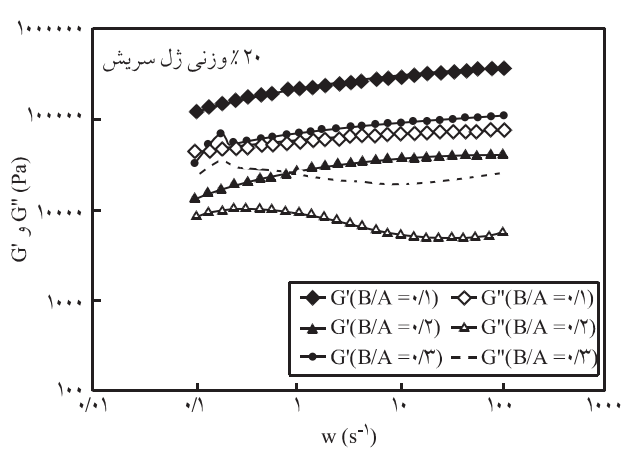
(ب)



(ب)



(ج)



(ج)

شکل ۴ تغییرات گرانزروی مخلوط ژلهای سریش با تغییر عامل ژل کننده در مقادیر ثابت سریش.

شکل ۳ مدلول ذخیره و اتلاف ژلهای سریش با دسته‌بندی بر اساس درصد وزنی سریش.

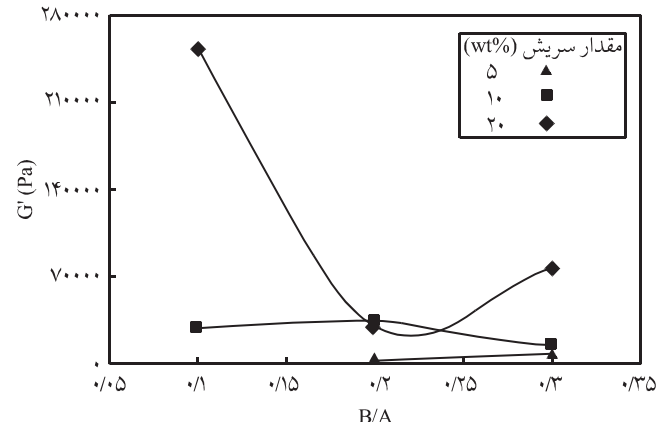
برابر تغییر تنش اعمالی تغییر می‌کند. این موضوع می‌تواند توجیهی برای عدم وجود خواص ژل در نمونه ۱-۰-۵ باشد. طبق نظریه کشسانی، مدول ناحیه مسطح رابطه مستقیمی با چگالی پیوندهای عرضی دارد [۷,۸] و به شکل معادله (۱) بیان می‌شود:

$$G' = \frac{cRT}{M_c} \quad (1)$$

در این معادله c غلظت پلیمر، M_c وزن مولکولی زنجیر پلیمر بین پیوندهای عرضی و R ثابت گاز است [۷,۸]. اما، تصحیحاتی روی این مدل انجام گرفته که شامل آثار نقایص شبکه مثل انتهاهای آزاد زنجیرها یا آثار گره خوردهای فیزیکی می‌شود [۷]. پس از تصحیح، معادله (۱) به شکل معادله (۲) بیان می‌شود:

$$G' = \frac{c}{M_c} \left(1 - \frac{2M_c}{M_r} \right) (1 - w_s) RT \quad (2)$$

در این معادله M_r جرم مولکولی متوسط پلیمر در ژل و w_s بخشی از سامانه است که در شیکه سه بعدی وارد نشده است [۹]. بر اساس این معادله‌ها جرم مولکولی متوسط بین پیوندهای عرضی و تعداد متوسط پیوندهای عرضی به ازای هر زنجیر پلیمری در ژل بدست می‌آید [۱۰]. نتایج این محاسبات در جدول ۱ مشاهده می‌شود. مشخص است که چگالی پیوندهای عرضی نیز تغییراتی مشابه تغییرات مدول ذخیره ژلهای دارند.

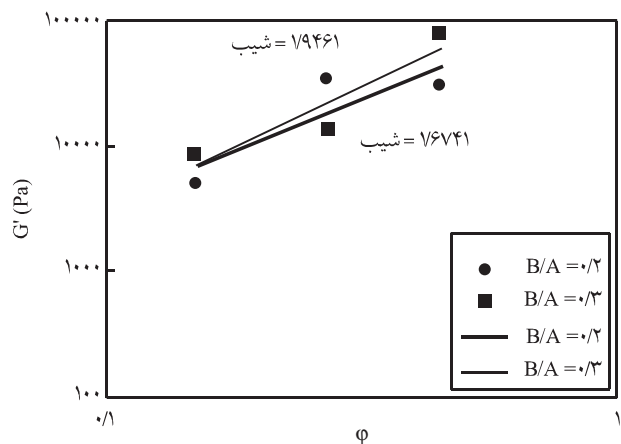


شکل ۵ تغییرات متوسط مدول ذخیره نواحی مسطح لاستیکی ژلهای سریش با تغییر نسبت A/B در مقادیر ۵، ۱۰ و ۲۰ درصد وزنی از سریش.

در محدوده بسامدی $10-0/2$ کاهش مدول ذخیره و اتلاف یا انتقال ناحیه مسطح لاستیکی نشان می‌دهند. این انتقال بیانگر آن است که استحکام ژل در برشهای زیاد کاهش یافته، چگالی پیوندهای عرضی کم خواهد شد. اما، با افزایش مقدار سریش و عامل ژل کننده نقاط تسلیم از بین رفته، کاهشی در نواحی مسطح دیده نخواهد شد. البته توجیه کامل و دقیق این پدیده در شرایط حاضر امکان پذیر نیست و نیاز به پژوهش‌های بیشتری دارد. آنچه که احتمال داده می‌شود بروز تنش تسلیم در درصدهای کم سریش است. در مقادیر کم سریش ساختار ژل در

جدول ۱ وزن مولکولی متوسط زنجیر پلیمر بین پیوندهای عرضی و چگالی پیوندهای عرضی ژلهای سریش.

تعداد پیوندهای عرضی به ازای هر مولکول	M_c (g/mol)	مدول ذخیره بر Shi (Pa)	غلظت خالص اینولین (kg/m³)	مقدار خالص سریش (wt%)
۴/۳	۶۲۴۱	۴۹۸۰	۳۴/۴۲	۵ (۵-۰/۲)
۶/۴	۳۸۶۰	۱۲۵۵۰	۳۴/۴۲	نقطه تسلیم
۵/۳	۴۷۹۰	۸۷۰۰	۳۴/۴۲	۵ (۵-۰/۳)
۶/۹	۳۵۲۰	۲۹۴۰۰	۶۷/۸	۱۰ (۱۰-۰/۱)
۹/۸	۲۳۶۱	۵۱۱۰۰	۶۷/۸	نقطه تسلیم
۷/۶	۳۱۵۵	۳۴۵۰۰	۶۷/۸	۱۰ (۱۰-۰/۲)
۸/۱	۲۹۲۵	۳۸۳۹۰	۶۷/۸	نقطه تسلیم
۴/۷	۵۵۱۶	۱۳۴۰۰	۶۷/۸	۱۰ (۱۰-۰/۳)
۱۹/۵	۱۱۲۶	۲۵۳۰۰۰	۱۲۶/۶	۲۰ (۲۰-۰/۱)
۵	۵۲۶۵	۳۰۲۰۰	۱۲۶/۶	۲۰ (۲۰-۰/۲)
۸	۲۹۵۴	۷۷۶۰۰	۱۲۶/۶	۲۰ (۲۰-۰/۳)



شکل ۶ بررسی صحت قانون دی جن در دو دسته از ژلهای سریش(اینولین).

را به مرتبه بیشتر افزایش داده، موجب استحکام بیشتر کلویید قبل از تبدیل شدن به ژل می شود [۱۱، ۱۲]. نمای تغییر نظم بین ذرات کلویید در طرح ۲ نشان داده شده است. به دلیل تغییر ساختار هیدروکلویید رقابت بین واکنشهای تعادلی با واکنشهای ایجاد پیوند عرضی در مقادیر کمتری از عامل ژل کننده رخ می دهد. البته افزایش مجدد مقدار عامل ژل کننده موجب افزایش جزئی در استحکام ژل می شود که قابل مقایسه با مقدار کمتر عامل ژل کننده نیست.

برای بررسی اثر کسر حجمی پلیمر بر مدول ژل سریش و ارزیابی صحت قانون تناسب دی جن (de Gennes scaling law) مدول متوسط ناحیه مسطح ژلهای در دو نسبت B/A ثابت رسم می شود (شکل ۶)

[۱۳]

(۳)

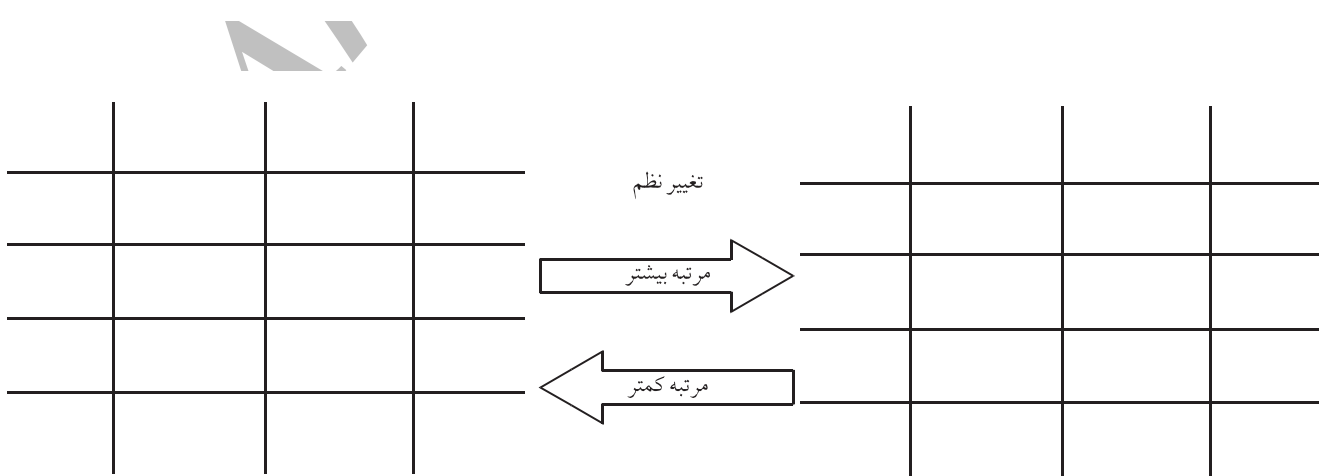
$$G' \propto \phi^{2/25}$$

به همین ترتیب مشاهده می شود که چگالی پیوندی عرضی در اثر گذر از نقطه تسليم کاهش محسوسی می یابد. این مطلب نشان دهنده عدم پایداری دائمی پیوندی عرضی تشکیل شده به وسیله یونهای بورات است که با تعادلی بودن واکنش تولید این پیوندها هم ارز در نظر گرفته می شود.

برای درک بهتر این رفتار باید به نکاتی توجه کرد. پلی ساکاریدها در آب هیدروکلوییدهایی تشکیل می دهند که رفتار خاصی دارند. مولکولهای پلی ساکارید به شکل ذره هایی در آب در می آیند که به کمک مولکولهای آب، آبکافت شده در محیط پایدار می شوند. البته پایداری این کلوییدها بستگی به نیروهای بین مولکولی با آب دارد. با افزایش غلظت، ذرات کلوییدی به هم نزدیکتر شده، در غلظتی بحرانی گره خوردگی بین ذرات کلوییدی بوجود می آید. پس از این غلظت، رفتار هیدروکلویید کاملاً متفاوت می شود.

در مورد ژل حاوی ۵ درصد سریش، سامانه در حالتی قرار دارد که ذرات از هم جدا بوده به وسیله عامل ژل کننده به هم پیوند می خورند. به همین دلیل با افزایش عامل ژل کننده استحکام ژل زیاد می شود. اما، با افزایش مقدار سریش به ۱۰ درصد سامانه تغییر فاز داده، رفتار ماده تغییر می کند. در این حالت با افزایش مقدار عامل ژل کننده در ابتدا استحکام ژل زیاد می شود، اما افزایش بیش از $2/2$ باعث کور شدن نقاط واکنش پذیر ژل شده، رقابت بین واکنشهایی که منجر به پیوند عرضی می شوند با واکنشهای تعادلی عامل ژل ساز با گروههای OH زنجیر پلیمر موجب کاهش چگالی پیوندی عرضی می شود، در نهایت مدول ذخیره کاهش می یابد.

افزایش مقدار سریش به ۲۰ درصد باز هم گره خوردگی فیزیکی بین ذرات کلوییدی را افزایش داده، افزون بر آن بر نوع نظم قرار گیری ذرات نیز اثر می گذارد. افزایش مقدار سریش، نظم قرار گیری ذرات کلوییدی

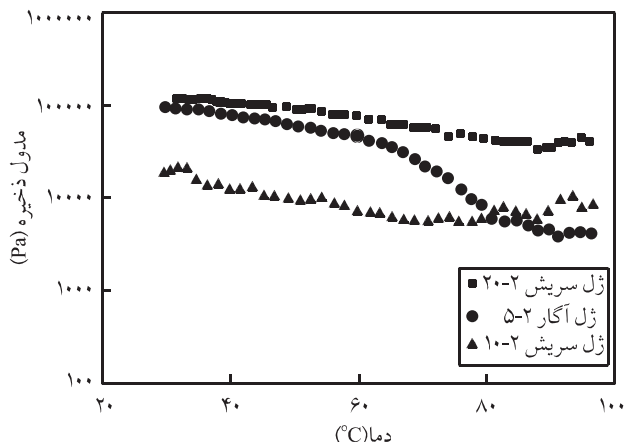


طرح ۲ تغییر نظم یافتنی سامانه های کلوییدی [۱۱].

تبديل حالت ژل به سل کاهش نمی یابد، اما ژلهای آگار در محدوده نسبتاً باریکی از دما از حالت ژل خارج شده، جاری می شوند. شایان ذکر است که ژل آگاری که مورد مقایسه قرار گرفته دارای ۵ درصد وزنی آگار و نسبت بورات به آگار ۰/۲ است. مشاهده این رفتار ویژه، ژلهای سریش را از تمام حالنهای ذکر شده برای دسته بندهی ژلهای فیزیکی بر اساس دما خارج می کند. در حالت دسته بندهی این ژل در رده ژلهای شیمیایی، این رفتار قابل توجیه است.

نتیجه گیری

ژلهای آب پایه سریش با ایجاد پیوندهای عرضی بوراتی بین و درون ذرات کلوبیدی اینولین تشکیل شده، خواص رئولوژی خاصی نشان می دهند. با افزایش مقدار اینولین در مقادیر ثابت عامل ژل کننده، استحکام ژل زیاد می شود. این رفتار با قانون تناسب دی جن در مورد ژلهای تطبیق خوبی دارد. اما، تغییر حالت کلوبیدی اینولین در اثر تغییر مقدار آن باعث می شود که در مقادیر خاصی از بوراکس، استحکام ژل به حداقل مقدار افزایش یابد. این مقدار حداقل با تغییر مقدار سریش تغییر می کند. تغییرات چگالی پیوندهای عرضی نیز شاهد دیگری بر این رفتار ژلهای پایه سریش است. ژلهای سریش در اثر افزایش دما تغییر فاز نشان نمی دهند و همواره در محدوده دمای کاربرد (کمتر از 100°C) در حالت ژل باقی می مانند.



شکل ۷ مقایسه اثر دما بر حالت فیزیکی و استحکام ژلهای سریش و آگار.

در نسبت $B/A = 0/3$ شیب منحنی لگاریتمی برابر ۷/۹۴۶ است که به قانون دی جن نزدیکتر است. دلیل انحراف جزئی از قانون دی جن عدم دقیق کسر حجمی پلیمر به دلیل چند جزئی بودن سریش است که مانع محاسبه دقیق کسر حجمی پلیمر (اینولین) در ژل می شود.

اثر دما

در شکل ۷ اثر دما بر مدول ذخیره دو نمونه ژل سریش و یک نمونه ژل آگار با هم مقایسه شده است. حالت فیزیکی ژلهای سریش در محدوده کاربرد بین دمای محیط تا دمای جوش آب حفظ شده، استحکام آن با

مراجع

1. Fang Y., Takahashi R. and Nishinari K., A Gel Constituted by Rigid Schizophyllan Chains and Nonpermanent Cross-links, *Biomacromolecules*, **5**, 126-136, 2004.
2. Labropoulos K.C., Niesz D.E., Danforth S.C. and Keverekidis P.G., Dynamic Rheology of Agar Gels: Theory and Experiments, Part II: Gelation Behaviour of Agar Sols and Fitting of a Theoretical Rheological Model, *Carbohyd. Polym.*, **50**, 407-415, 2002.
3. Vervoort L., Vinckier I., Moldenaers P., Mooter V.D.G., Augustijns P. and Kinget R., Inulin Hydrogels as Carriers for Colonic Drug Targeting, Rheological Characterization of the Hydrogel Formation and the Hydrogel Network, *J. Pharmaceut. Sci.*, **88**, 209-214, 1999.
4. Hajebi G., Study and Comparison of Asphodel Glue with other Glues in Tablet Making, PhD Thesis, Tehran University, 1974.
5. Rubin R., The Melagria: On Anchorites and Edible Roots in Judaean Desert, *LA* **52**, 347-352, 2002.
6. Nikoli G.S., Caki M.D. and Ili L.A., Specific Refractive Index Increments of Inulin, *J. Serb. Chem. Soc.*, **66**, 397-401, 2001.
7. Rubinstein M. and Colby R., *Polymer Physics*, Oxford University, Oxford, Chap. 10, 2003.
8. Gedde U.W., *Polymer Physics*, Chapman and Hall, London, Chap. 3, 1995.
9. Van F.S.M., Leef K., Boskamp J.V. and Tempel V.D.M., Determination of the Number of Cross-links in a Protein Gel from its Mechanical and Swelling Properties, *Biopolymers*, **17**, 225-235, 1978.
10. Seidel C. and Kulicke W.M., Carboxymethyl Starch Gels for

Ultrasonic Examinations, fur den Rheofuture Young Scientist Award 2002 der Firma ThermoHaake (<http://www.rheofuture.de/award/papers.shtml>), 2002.

11. Zhong Q., Daubert C.R. and Velev O.D., Cooling Effects on a Model Rennet Casein Gel System: Part II. Permeability and Microscopy, *Langmuir*, **18**, 7406-7411, 2004.

12. Zhong Q., Daubert C.R. and Velev O.D., Cooling Effects on a Model Rennet Casein Gel System: Part I. Rheological Characterization, *Langmuir*, **18**, 7399-7405, 2004.

13. Richter S., Mechanical Properties of Poly(vinyl methyl ether) Hydrogels Below and Above their Volume Phase Transition, *Colloid Polym. Sci.*, **282**, 1221-1231, 2004.

Archive of SID